

**Technische Universität Wien**  
Institut für Automatisierungs- und Regelungstechnik

SCHRIFTLICHE PRÜFUNG zur  
VU Automatisierungstechnik  
am 19.06.2009

Name:

Vorname(n):

Matrikelnummer:

Note:

Aufgabe	1	2	3	4	$\Sigma$
erreichbare Punkte	10	10	10	10	40
erreichte Punkte					

**Bitte ...**

- ... tragen Sie Name, Vorname und Matrikelnummer auf dem Deckblatt ein,
- ... rechnen Sie die Aufgaben auf separaten Blättern, nicht auf dem Angabeblatt,
- ... beginnen Sie für eine neue Aufgabe immer auch eine neue Seite,
- ... geben Sie auf jedem Blatt den Namen sowie die Matrikelnummer an,
- ... begründen Sie Ihre Antworten ausführlich und
- ... kreuzen Sie hier an, an welchem der folgenden Termine Sie **nicht** zur mündlichen Prüfung antreten können
  - Fr, 26.06.2009
  - Mo, 29.06.2009

**Viel Erfolg!**

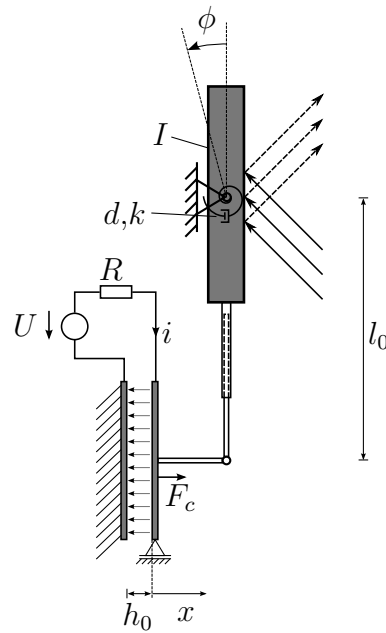


Abbildung 1: Mikroelektromechanischer Spiegel.

- Abbildung 1 zeigt die Prinzipskizze eines mikroelektromechanischen Spiegels. Das drehbar gelagerte Spiegelement (Trägheitsmoment  $I > 0$ , Drehwinkel  $\phi$ ) ist über die masselosen Verbindungselemente (reibungsfreies Linearlager, reibungsfreies Drehgelenk, Anfangsabstand des Drehpunktes des Spiegels zum Drehgelenk  $l_0 > 0$ ) mit einer verschiebbar gelagerten, masselosen Elektrode eines Plattenkondensators verbunden und über eine Drehfeder (linear, Federsteifigkeitskoeffizient  $k > 0$ ) und einen Drehdämpfer (linear, Dämpfungskoeffizient  $d > 0$ ) an das Gehäuse gekoppelt. Die zweite Elektrode des Kondensators ist fest am Gehäuse befestigt. Für die Kapazität des Kondensators gilt  $C_c(x) = \epsilon \frac{A}{h_0+x}$  (Elektrodenfläche  $A > 0$ , Elektrodenanfangsabstand  $h_0 > 0$ , Permittivität  $\epsilon > 0$ ) und die Kraft auf die bewegliche Elektrode lautet  $F_c = \frac{1}{2} \frac{\partial C_c(x)}{\partial x} u_c^2$ . Der Kondensator wird durch den Strom  $i$  eines in Serie mit einer idealen Spannungsquelle (Spannung  $U$ ) geschalteten Widerstandes  $R > 0$  geladen.

**Hinweis:** Es können folgende trigonometrische Vereinfachungen getroffen werden:  
 $\sin(\phi) \sim \phi$  und  $\cos(\phi) \sim 1$ .

- Bestimmen Sie das zugehörige mathematische Modell in der Form  $\dot{\mathbf{x}} = \mathbf{f}(\mathbf{x}, u)$  und  $y = h(\mathbf{x}, u)$  mit der Eingangsgröße  $u = U$ , geeigneten Zustandsgrößen  $\mathbf{x}$  und dem Drehwinkel  $\phi$  des Spiegels als Ausgangsgröße.  
**Hinweis:** Verwenden Sie den Winkel  $\phi$  als eine der Zustandsgrößen!
- Berechnen sie die Ruhelagen  $\mathbf{x}_R$  des Systems für die Eingangsgröße  $u_R = 0$ .
- Linearisieren Sie das mathematische Modell um die in b) berechnete Ruhelage und bringen Sie das linearisierte System in die Form  $\Delta \dot{\mathbf{x}} = \mathbf{A} \Delta \mathbf{x} + \mathbf{b} \Delta u$ ,  $\Delta y = \mathbf{c}^T \Delta \mathbf{x} + d \Delta u$ .
- Ist das linearisierte System aus c) für die gegebenen Parameterannahmen stabil? Begründen Sie Ihre Aussage.

2. Bearbeiten Sie die folgenden Aufgaben.

**Hinweis:** Alle Aufgaben (a,b,c,d,e) können unabhängig voneinander gelöst werden.

a) Welche Bedingung muss ein System der Form

$$\begin{aligned}\dot{\mathbf{x}} &= \mathbf{f}(\mathbf{x}, \mathbf{u}, t) \\ \mathbf{y} &= \mathbf{h}(\mathbf{x}, \mathbf{u}, t)\end{aligned}$$

erfüllen, damit es zeitinvariant ist?

- b) i) Definieren Sie den Begriff der BIBO-Stabilität eines linearen zeitkontinuierlichen zeitinvarianten Systems und geben Sie zwei Kriterien zur Überprüfung der BIBO-Stabilität an.
- ii) Unter welchen Bedingungen ist der Regelkreis nach Abbildung 2 intern stabil?

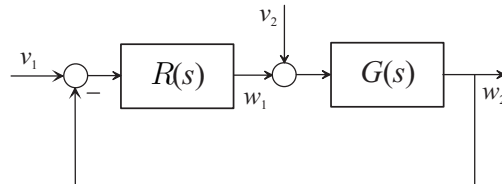


Abbildung 2: Regelkreis.

- c) Geben Sie drei verschiedene Möglichkeiten zur Überprüfung der vollständigen Beobachtbarkeit eines linearen zeitkontinuierlichen zeitinvarianten Systems an.
- d) Definieren Sie die Begriffe *Erreichbarkeit*, *Steuerbarkeit* und *Beobachtbarkeit* eines linearen zeitkontinuierlichen zeitinvarianten Systems.
- e) Welche Bedingungen muss ein lineares zeitinvariantes System der Form

$$\begin{aligned}\dot{\mathbf{x}} &= \mathbf{A}\mathbf{x} + \mathbf{b}u \\ y &= \mathbf{c}^T\mathbf{x} + du\end{aligned}$$

erfüllen, damit man von der BIBO-Stabilität der zugehörigen Übertragungsfunktion  $G(s)$  auf die asymptotische Stabilität des Systems schließen kann.

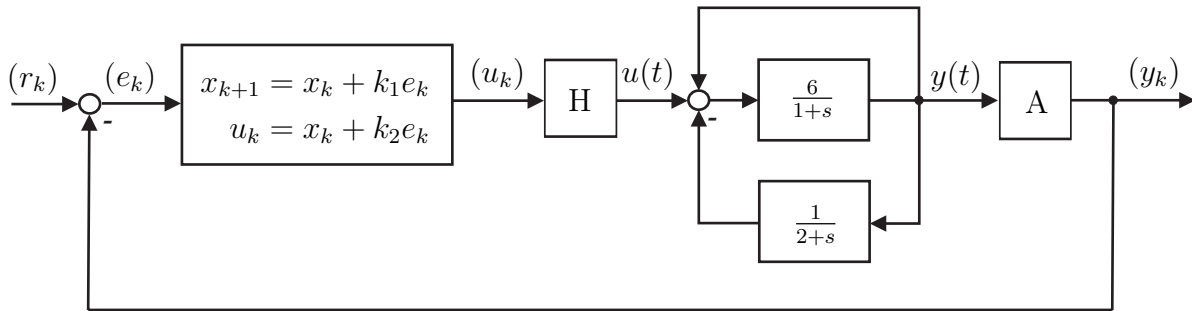


Abbildung 3: Zeitdiskreter Regelkreis.

3. Für den in Abbildung 3 dargestellten zeitdiskreten Regelkreis sind folgende Aufgaben zu bearbeiten:

**Hinweis:** Die Aufgaben (a,c,d) können getrennt voneinander gelöst werden.

- Bestimmen Sie die zeitkontinuierliche Streckenübertragungsfunktion  $G(s) = \frac{\hat{y}(s)}{\hat{u}(s)}$ .
- Berechnen Sie die zeitdiskrete Streckenübertragungsfunktion  $G(z) = \frac{\hat{y}(z)}{\hat{u}(z)}$ , mit der Abtastzeit  $T_a$  als Parameter.
- Bestimmen Sie aus der Zustandsdarstellung des Reglers dessen Übertragungsfunktion  $R(z) = \frac{\hat{u}(z)}{\hat{e}(z)}$ .
- Für eine spezielle Wahl der Reglerparameter  $k_1$ ,  $k_2$  und  $T_a$  folgt aus  $G(z)$  und  $R(z)$  der letzten beiden Unterpunkte die Schleifenübertragungsfunktion im  $q$ -Bereich zu

$$L^\#(q) = \frac{-0.03(q + 0.5)(q + 2)(q - 200)}{q(q + 1)(q - 4)} .$$

Bestimmen Sie mit dem vollständigen Nyquistkriterium die Stabilität des geschlossenen Regelkreises. Die benötigte Ortskurve von  $L^\#(q)$  ist in Abbildung 4 dargestellt.

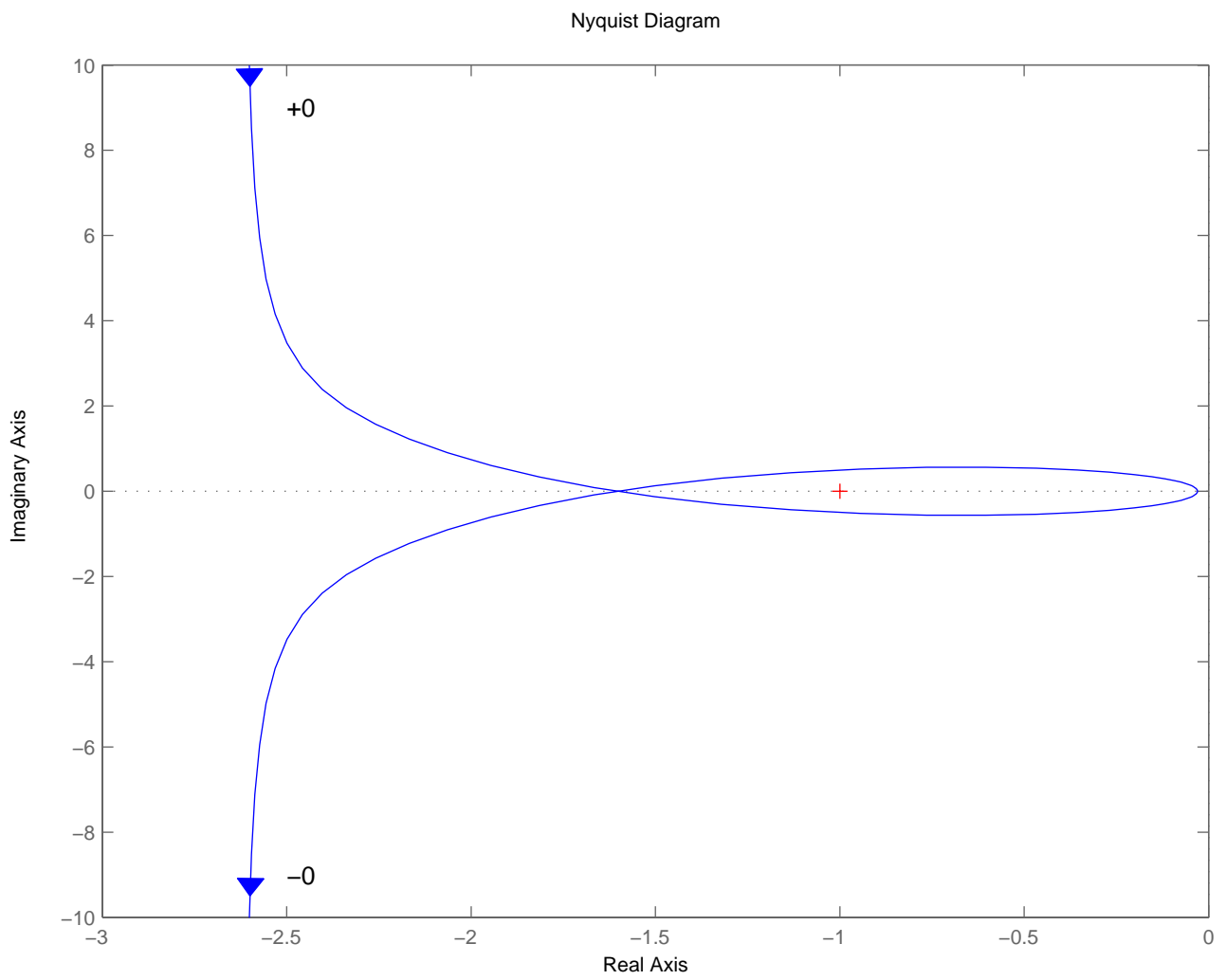


Abbildung 4: Ortskurve von  $L^\#(q)$ .

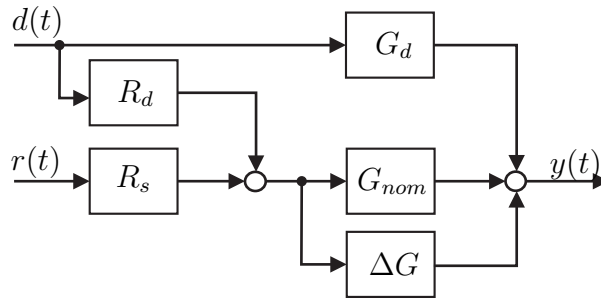


Abbildung 5: Steuerung mit Störgrößenaufschaltung.

4. a) Im Folgenden wird die Strecke

$$G(s) = \underbrace{\frac{V_{nom}(1+sc)}{(1+sa)(1+sb)}}_{G_{nom}(s)} + \underbrace{\frac{\Delta V(1+sc)}{(1+sa)(1+sb)}}_{\Delta G(s)} \quad \text{und} \quad G_d(s) = \frac{1}{1+sa} \quad \text{mit} \quad V, a, b, c > 0$$

betrachtet.

- i) Entwerfen Sie für die nominelle Strecke  $G = G_{nom}$  eine Steuerung  $R_s$  (siehe Abbildung 5), sodass die Führungsübertragungsfunktion  $T_{nom} = R_s G_{nom}$  die Verstärkung 1 hat und einen Doppelpol bei  $-\frac{1}{e}$ ,  $e > 0$ , aufweist.
- ii) Bestimmen Sie für die nominelle Strecke  $G = G_{nom}$  die Übertragungsfunktion  $R_d$  so, dass eine beliebige Störung  $d(t)$  keine Auswirkung auf den Ausgang hat (ideale Störgrößenaufschaltung).
- iii) Die in Punkt a) entworfene Steuerung soll nun im Hinblick auf Parameterschwankungen untersucht werden. Berechnen Sie dazu die Funktionen  $S = \frac{T - T_{nom}}{T_{nom}}$  mit  $T_{nom} = R_s G_{nom}$  und  $T = R_s G$ . Zeichnen Sie den Betragsgang von  $S$  in die Bode-Diagramm-Vorlage in Abbildung 6 ein. Verwenden Sie dazu die Parameterwerte  $V_{nom} = 100$ ,  $\Delta V = 1$ . Wie können Sie die Empfindlichkeit gegenüber Parameterschwankungen verbessern?

b) Von einem Regelkreis mit einem Freiheitsgrad sind Strecke und Regler gemäß

$$G(s) = \frac{V_G}{s^2}, \quad V_G \geq 0 \quad \text{und} \quad R(s) = \frac{V_R(1+sT_1)}{(1+sT_2)}$$

bekannt. Für welche Werte der Reglerparameter  $V_R$ ,  $T_1$  und  $T_2$  ist der geschlossene Regelkreis BIBO-stabil? Wie groß ist die bleibende Regelabweichung bei einer Führungsrampe und den Reglerparametern  $V_R = 10$ ,  $T_1 = 10$  und  $T_2 = 5$ ?

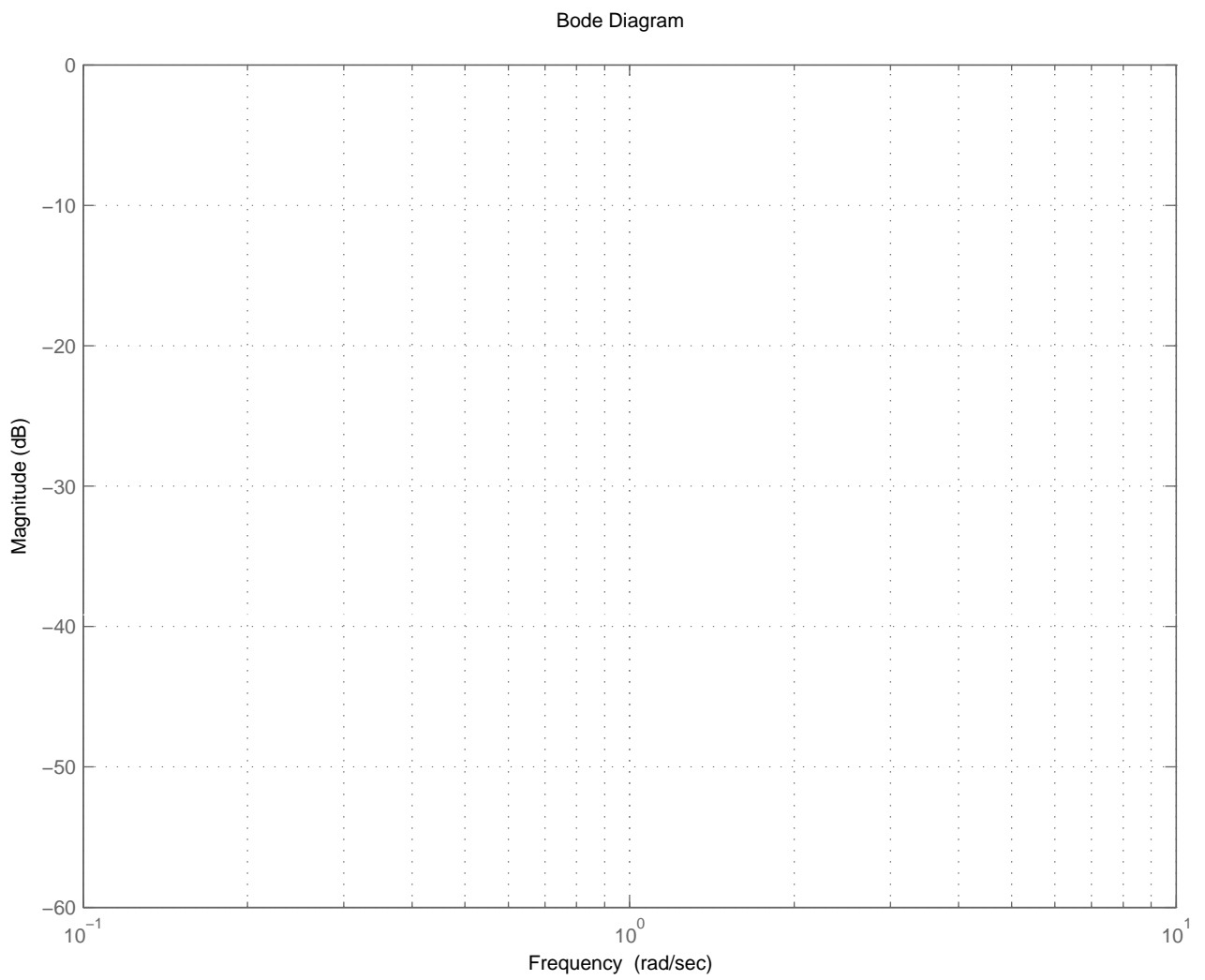


Abbildung 6: Betragsgang-Vorlage.